

**ՀՀ ԿՐԹՈՒԹՅԱՆ ԵՎ ԳԻՏՈՒԹՅԱՆ ՆԱԽԱՐԱՐՈՒԹՅՈՒՆ  
ԵՐԵՎԱՆԻ ՊԵՏԱԿԱՆ ՀԱՄԱԼՍԱՐԱՆ**

**Բարսեղյան Մանուկ Գևորգի**

**ԿԻՍԱՀԱՂՈՐԴՅԱՅԻՆ ՆԱՆՈԿԱՌՈՒՑՎԱԾՔՆԵՐԻ ԷԼԵԿՏՐՈՆԱՅԻՆ ԵՎ  
ՕՊՏԻԿԱԿԱՆ ՀԱՏԿՈՒԹՅՈՒՆՆԵՐԻ ՎՐԱ ԱՐՏԱՔԻՆ ԳՈՐԾՈՆՆԵՐԻ  
ԱԶԴԵՑՈՒԹՅԱՆ ՏԵՍԱԿԱՆ ՈՒՍՈՒՄՆԱՍԻՐՈՒՄ**

**Ա.04.10 - «Կիսահաղորդիչների ֆիզիկա» մասնագիտությամբ  
ֆիզիկամաթեմատիկական գիտությունների դոկտորի  
գիտական աստիճանի հայցման ատենախոսության**

**ՍԵՂՄԱԳԻՐ**

**ԵՐԵՎԱՆ – 2018**

**МИНИСТЕРСТВО ОБРАЗОВАНИЯ И НАУКИ РА  
ЕРЕВАНСКИЙ ГОСУДАРСТВЕННЫЙ УНИВЕРСИТЕТ**

**Барсегян Манук Геворгович**

**ТЕОРЕТИЧЕСКОЕ ИССЛЕДОВАНИЕ ВЛИЯНИЯ ВНЕШНИХ ФАКТОРОВ НА  
ЭЛЕКТРОННЫЕ И ОПТИЧЕСКИЕ СВОЙСТВА ПОЛУПРОВОДНИКОВЫХ  
НАНОСТРУКТУР**

**Ա Վ Տ Օ Ր Ե Փ Ե Ր Ա Տ**

**диссертации на соискание ученой степени  
доктора физико-математических наук по специальности  
01.04.10 - “Физика полупроводников”**

**Ե Ր Ե Վ Ա Ն – 2018**

Ասենախոսության թեման հաստատվել է Երևանի պետական համալսարանում

Գիտական խորհրդատու՝

ՀՀ ԳԱԱ թղթ. անդամ, ֆիզ. մաթ. գիտ. դոկտոր,  
պրոֆեսոր Ա.Ա. Կիրակոսյան (ԵՊՀ)

Պաշտոնական ընդունմախոսներ՝

ՀՀ ԳԱԱ ակադեմիկոս, ֆիզ. մաթ. գիտ. դոկտոր,  
պրոֆեսոր Է.Մ. Ղազարյան (ՇՈՀ),

Առաջատար կազմակերպություն՝

ֆիզ. մաթ. գիտ. դոկտոր, պրոֆեսոր  
Վ.Հ. Ահարոնյան (ՀԱՊՀ),

ֆիզ. մաթ. գիտ. դոկտոր, դոցենտ  
Ս.Լ. Հարությունյան (ՀԱՊՀ Գյումրու մասնաճյուղ)

ՀՀ ԳԱԱ ռադիոֆիզիկայի և էլեկտրոնիկայի

ինստիտուտ

Պաշտպանությունը տեղի կունենա **2018թ. դեկտեմբերի 24-ին, ժամը 15<sup>00</sup>-ին**  
Երևանի պետական համալսարանի ֆիզիկայի 049 մասնագիտական խորհրդի  
նիստում:

Հասցեն՝ Երևան 0025, Ալեք Մանուկյան 1

Ասենախոսությանը կարելի է ծանոթանալ ԵՊՀ գրադարանում:

Սեղմագիրն առաքված է 2018թ. նոյեմբերի 12-ին:

Մասնագիտական խորհրդի  
գիտական քարտուղար՝

ֆիզ. մաթ. գիտ. թեկնածու, դոցենտ  
Վ.Պ. Քալանթարյան

Тема диссертации утверждена в Ереванском государственном университете

Научный консультант:

член-кор. НАН РА, доктор физ. мат. наук,  
профессор А.А. Киракосян

Официальные оппоненты:

академик НАН РА, доктор физ. мат. наук,  
профессор Э.М. Казарян (РАУ),  
доктор физ. мат. наук, профессор  
К.Г. Агаронян (НПУА),

доктор физ. мат. наук, доцент  
С.Л. Арутюнян (НПУА Гюмрийский филиал)

Ведущая организация:

Институт радиофизики и электроники НАН РА

Защита состоится **24-го декабря 2018г. в 15<sup>00</sup>** часов на заседании специализированного совета по физике 049 Ереванского государственного университета по адресу: Ереван 0025, ул. Алекса Манукяна 1.

С диссертацией можно ознакомиться в библиотеке ЕГУ.

Автореферат разослан 12-ого ноября 2018 г.

Ученый секретарь  
специализированного совета

кандидат физ. мат. наук, доцент  
Վ.Պ. Կալանթարյան













ծարարական արդյունքների վերլուծության և բացատրման համար: Դրանք կարևորվում են նաև կիսահաղորդչային նանուկառուցվածքների ավելի խոր ուսումնասիրմանն ուղղված նոր փորձերի իրականացման համար: Սարքային կիրառություններում էլեկտրոնային և խառնուկային վիճակների վրա արտաքին գործոնների ազդեցության ուսումնասիրումը կարևորվում է հիշողության սարքերի քիմիական և կենսաքիմիական զգայակների և տվյալների կատարելագործման տեսանկյունից, իսկ ներգոտիական օպտիկական հատկությունների հետազոտումը կարող է օգտագործվել կիսահաղորդչային նանուկառուցվածքների հենքի վրա ստեղծվող օպտիկական ուղղիչների և լազերների բնութագրերի բարելավման համար:

## ՊԱՇՏՊԱՆՈՒԹՅԱՆ ՆԵՐԿԱՅԱՑՎՈՂ ՀԻՄՆԱԿԱՆ ԴՐՈՒՅԹՆԵՐԸ

1. Պյուջլ-Թելերի սահմանափակող պոտենցիալով GaAs քվանտային փոստմ էլեկտրոնի հիմնական վիճակի էներգիան էլեկտրական դաշտի լարվածության աճող ֆունկցիա է: Պոտենցիալի անհամաշափության աստիճանը մեծացնելիս, ինչպես նաև համակարգի շերմաստիճանը բարձրացնելիս հիմնական վիճակի էներգիան աճում է, իսկ հիդրոստատիկ ճնշումը մեծացնելիս՝ նվազում:
2. Պյուջլ-Թելերի սահմանափակող պոտենցիալով GaAs քվանտային փոստմ դրոնորային խառնուկի հիմնական վիճակի կապի էներգիան ճնշումից կախված աճում է, իսկ շերմաստիճանից կախված՝ նվազում: Այն կարելի է նպատակառության փոփոխելու ոչ միայն սահմանափակող պոտենցիալի անհամաշափության պարամետրի, այլ նաև խառնուկի դիրքի փոփոխմամբ: Հիդրոստատիկ ճնշման աճը խառնուկի ֆոտոինացման սպեկտրում հանգեցնում է կապուտ, իսկ շերմաստիճանի աճը՝ կարմիր շեղման: Ֆոտոինացման կտրվածքի կախումը ֆոտոնի էներգիայից կարելի է փոփոխել լուսի բևեռացման վեկտորի ուղղության փոփոխմամբ:
3. Եթե լուսի բևեռացման վեկտորն ուղղված է GaAs/Ga<sub>1-x</sub>Al<sub>x</sub>As գլանային քվանտային լարի առանցքի երկայնքով, ապա առանցքին տեղադրված դրոնորային խառնուկի համար թույլատրելի են խառնուկի հիմնական վիճակից քվանտային լարում  $I=0$  ուղեծրային քվանտային թվով վիճակ անցումները: Եթե բևեռացման վեկտորն ուղղահայաց է քվանտային լարի առանցքին, ապա թույլատրելի են խառնուկային հիմնական վիճակից քվանտային լարի  $I=\pm 1$  ուղեծրային քվանտային թվով վիճակներ անցումներն արգելված են, եթե բևեռացման վեկտորն ուղղահայաց է ինչպես քվանտային լարի առանցքին, այնպես էլ խառնուկի շեղման ուղղությանը:
4. Էլեկտրական և մագնիսական դաշտերը քվանտային լարում խառնուկի կապի էներգիայի և ֆոտոինացման կտրվածքի արդյունավետ կառավարման միջոց են: Խառնուկի կամայական դիրքում դաշտերի համատեղ ազդեցությամբ կարելի է էականորեն փոփոխել կապի էներգիայի և ֆոտոինացման կտրվածքի արժեքները: Ընդորում, ֆոտոինացման կտրվածքի կախումն էլեկտրական դաշտի լարվածությունից կարող է էապես փոփոխվել՝ կախված խառնուկի դիրքից, մագնիսական դաշտի ինդուկցիայից, լուսի բևեռացման վեկտորի ուղղությունից և ֆոտոնի էներգիայից:
5. GaAs/Ga<sub>1-x</sub>Al<sub>x</sub>As գլանային քվանտային կետում ճնշման փոքր արժեքների դեպքում ( $\Gamma - X$  գոտիների՝ հիդրոստատիկ ճնշումով պայմանավորված հատման արժեքից փոքր արժեքների տիրույթ) խառնուկի կապի էներգիան աճում է գծային օրենքով,





## **ԱՇԽԱՏԱՆՔԻ ՓՈՐՁԱՀԱՎԱՆՈՒԹՅՈՒՆԸ**

Ատենախոսության իհմնական արդյունքները քննարկվել են ԵՊՀ ֆիզիկայի ֆակուլտետի և այնպի մարմնի ֆիզիկայի ամբիոնի սեմինարներում և գեղուցվել “13<sup>th</sup> International Conference on High Pressure Semiconductor Physics-HPSP 13” միջազգային գիտաժողովում (Fortaleza, Ceara, Brazil, 2008), 25<sup>th</sup> International Conference on Defects in Semiconductors ICDS-2” միջազգային գիտաժողովում (St. Petersburg, Russia, 2009), “International Conference on Superlattices, Nanostructures, and Nanodevises” միջազգային գիտաժողովում (Dresden, Germany, 2012), “IONS-11/Paris” (Paris, France, 2012), “IONS-NA-4/New York” (New York, USA, 2012)“VII Workshop Chile-Mexico on Magnetism, Nanoscience and their Applications” միջազգային գիտաժողովում (Arica, Chile, 2015), “International Workshop on Nanoscale Assemblies of Semiconductor Nanocrystals, Metal Nanoparticles and Single Molecules – NANOSA15: Theory, Experiment and Application” միջազգային գիտաժողովում (Dresden, Germany, 2015), “EMN Meeting on Quantum Communication and Quantum Imaging-2016” միջազգային գիտաժողովում (Berlin, Germany, 2016), “Energy Materials Nanotechnology” (Dubrovnik, Croatia, 2016) միջազգային գիտաժողովում, “International Conference on Terahertz Emission, Metamaterials and Nanophotonics – TERAMETANANO-2” (Venice, Italy, 2017), ինչպես նաև Հայաստանի Հանրապետությունում անցկացված միջազգային և հանրապետական գիտաժողովներում՝ “New Technologies for development of heterosemiconductors for device applications” (Yerevan, 2016), “Laser Physics-2008” (Ashtarak, 2008), “Semiconductor micro- and nanoelectronics” (Tsaghkadzor, 2009), “Photonics & Micro- and Nano-structured Materials” (Yerevan, 2011), “8th International Conference on Semiconductor Micro- & Nanoelectronics” (Yerevan, 2011), “OPTICS-2011” (Yerevan-Ashtarak, 2011).

## **ՀՐԱՄԱԿՈՒՄԸ**

Ատենախոսության իհմնական արդյունքները տպագրված են 37 հոդվածում և կոլեկտիվ մենագրության 1 գիրում, որոնց ցուցակը ներկայացված է սեղմագրի վերջում:

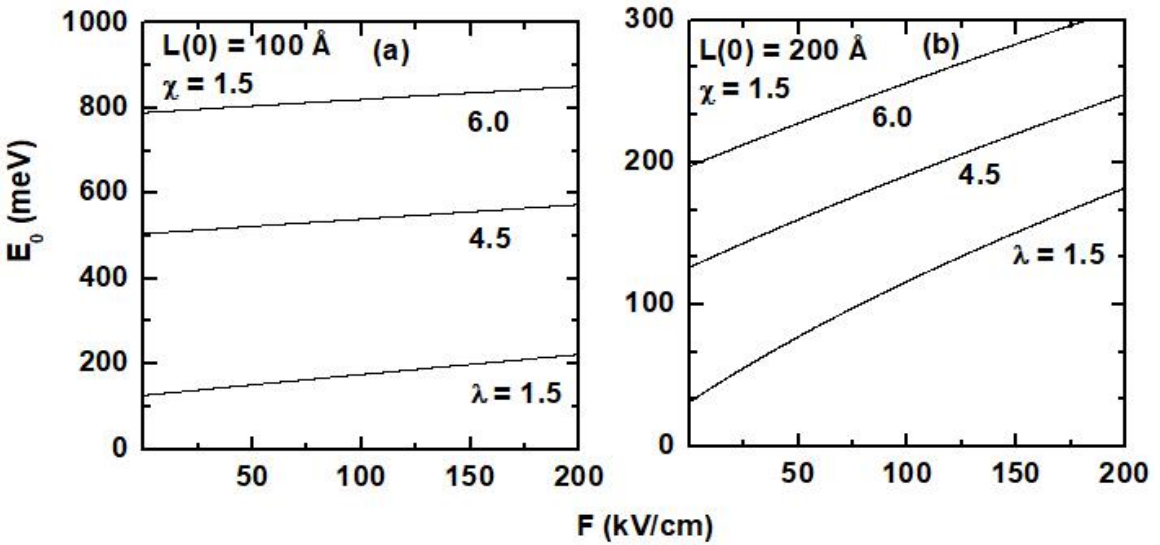
## **ԱՇԽԱՏԱՆՔԻ ԿԱՌՈՒՑՎԱԾՔԸ**

Ատենախոսությունը բաղկացած է ներածությունից, երեք մասից (յոթ գլուխ), եզրակացությունից, հավելվածից, հապավումների և գրականության ցանկերից: Յուրաքանչյուր մաս և գլուխ սկսվում է քննարկվող գրականության համառոտ ակնարկով: Ատենախոսության ծավալը 277 էջ է, այն պարունակում է 153 գրաֆիկ և նկար, 5 աղյուսակ և գրականության ցանկ 273 հղումով:

## **ԱՇԽԱՏԱՆՔԻ ԲՈՎԱՆԴԱԿՈՒԹՅՈՒՆԸ**

**Ատենախոսության առաջին մասը** նվիրված է կիսահաղորդխային նանոկառուցվածքներում էլեկտրոնային, խառնուկային վիճակների և ֆոտոիննացման կտրվածքի վրա արտաքին գործոնների ազդեցության ուսումնասիրմանը:

**§1.1-ում** Պյոշլ-Թելերի (ՊԹ) սահմանափակող պոտենցիալով քվանտային փոսում (ՔՓ) հետազոտվել է հիդրոստատիկ ճնշման, ջերմաստիճանի և էլեկտրական



Նկ.1. Էլեկտրոնի հիմնական վիճակի էներգիայի կախումն էլեկտրական դաշտի լարվածությունից  $\lambda$  պարամետրի և ՔՓ-ի լայնության տարբեր արժեքների դեպքում ( $P=0, T=4 \text{ K}$ )

Դաշտի ազդեցությունն էլեկտրոնի հիմնական վիճակի էներգիայի և ալիքային ֆունկցիայի վրա: Խնդիրը լուծվել է փոփոխակային մեթոդի օգնությամբ: Նկ.1-ում ներկայացված են էլեկտրոնի հիմնական վիճակի էներգիայի կախումն էլեկտրական դաշտի լարվածությունից սահմանափակող պոտենցիալի  $\lambda$  պարամետրի և ՔՓ-ի լայնության տարբեր արժեքների դեպքում:

**§1.2**-ում ուսումնասիրվել է ՊԹ-ի սահմանափակող պոտենցիալով ՔՓ-ում դռնորային խառնուկի հիմնական վիճակի կապի էներգիայի վրա ճնշման, ջերմաստիճանի, էլեկտրական դաշտի և  $\lambda$  պարամետրի ազդեցությունը: Հիմնական վիճակի կապի էներգիայի համար ստացվել է

$$E_b = -\frac{\hbar^2 \alpha_i^2}{2m^*(P,T)} + \frac{e^2 N^2}{\varepsilon(P,T)} \int d^3r \frac{f^2(z, \alpha_F) e^{-2\alpha_i r}}{r} \quad (1)$$

արտահայտությունը, որտեղ  $r = \rho^2 + (z - z_i)^2)^{1/2}$ -ը էլեկտրոն-խառնուկ հեռավորությունն է,  $z_i$ -ն ցույց է տալիս խառնուկի դիրքը ՔՓ-ում,  $f(z, \alpha_F)$ -ն էլեկտրոնի հիմնական վիճակի ալիքային ֆունկցիան է խառնուկի բացակայությամբ,  $\alpha_F$ -ը և  $\alpha_i$ -ն՝ փոփոխակային պարամետրերը:

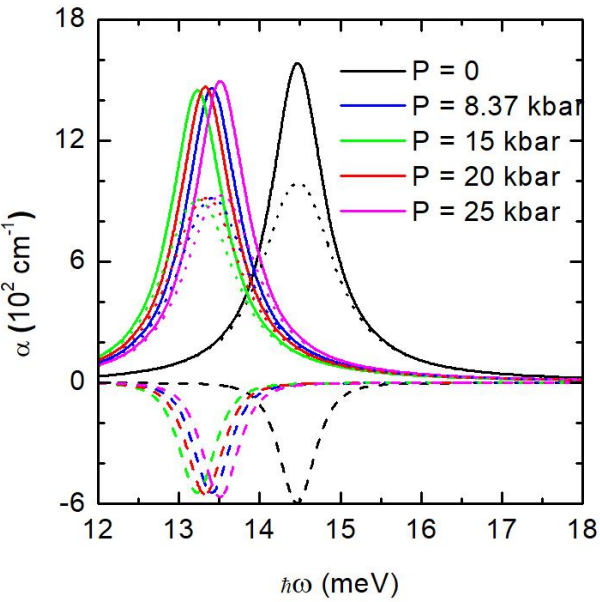
**§1.3**-ում ուսումնասիրվել է վերոնշյալ պարամետրերի ազդեցությունը դռնորային խառնուկի ֆոտոինացման կտրվածքի (ՖԻԿ) վրա: Ուսումնասիրվել է լուսի բևեռացման ուղղության երկու դեպք, երբ լուսի բևեռացման վեկտորն ուղղված է  $x$  առանցքի երկայնքով ( $x$ -բևեռացում) և  $z$  առանցքի երկայնքով ( $z$ -բևեռացում): Երկու դեպքում էլ երկրաչափական մատրիցական տարրի համար ստացվել են ջոկման կանոններ, որոնց համաձայն թույլատրելի են խառնուկային հիմնական վիճակից ՊԹ-ի ՔՓ-ի հիմնական վիճակ անցումները: Նշված բևեռացումների դեպքում ՖԻԿ-ի համար ստացվել են հետևյալ արտահայտությունները.

$$\sigma(\omega, P, T) = \sigma_0 I_x^2 \frac{\hbar \omega (\hbar \omega - E_b)}{\left[ \alpha_0^2 + \frac{2m(P, T)}{\hbar^2} (\hbar \omega - E_b) \right]^2} \frac{m(P, T)}{\hbar^2} \theta(\hbar \omega - E_b), \quad (2)$$

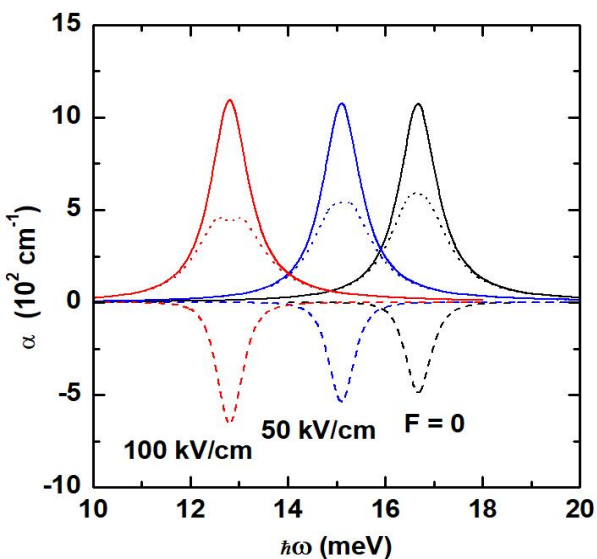








Նկ.6 Կլանման գործակի կախումն ընկնող ֆոտոնի էներգիայից ճնշման տարբեր արժեքների համար: Ընդհատ գծերով ներկայացված են գծային, կետագծերով՝ ոչ գծային, հոծ գծերով՝ լրիվ կլանման գործակիցները ( $x=0.3$ ,  $L_B=1$  նմ,  $L_C=10$  նմ,  $I=5 \cdot 10^3$  Վտ/սմ $^2$ ):



Նկ.7 Կլանման գործակի կախումը ֆոտոնի էներգիայից: Հոծ գծերը համապատասխանում են  $\alpha_1(\hbar\omega)$ -ին, ընդհատ գծերը՝  $\alpha_2(\hbar\omega, I)$ -ին, կետագծերը՝  $\alpha(\hbar\omega, I)$ -ին: Դիտարկվել են էլեկտրական դաշտի լարվածության տարբեր արժեքներ ( $R_1=10$  նմ,  $R_2=20$  նմ,  $L=20$  նմ,  $P=0$ ,  $I=2 \cdot 10^4$  Վտ/սմ $^2$ ):

**§5.4**-ում ուսումնասիրվել է մագնիսական դաշտի ազդեցությունը «քվանտային կետ-օղակ» կառուցվածքում խառնուկային վիճակների և լուսի ներգոտիական կլանման վրա:

Գործակիցների կախումներն ընկնող ֆոտոնի էներգիայից հիդրոստատիկ ճնշուման տարբեր արժեքների դեպքում:

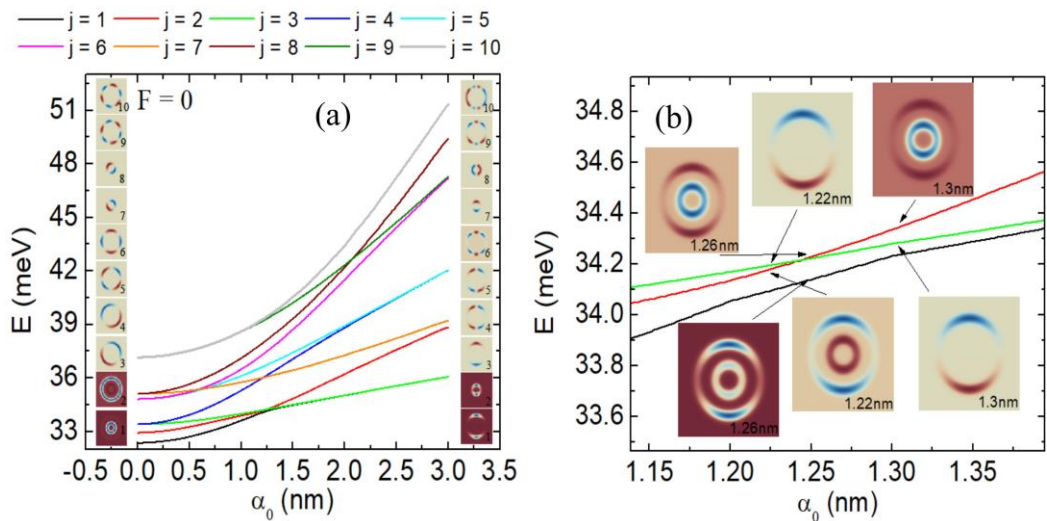
Ատենախոսության **հինգերորդ գլուխը** նվիրված է քվանտային օդակում և «քվանտային կետ-օղակ» կառուցվածքում խառնուկային վիճակների և ներգոտիական կլանման վրա հիդրոստատիկ ճնշման և էլեկտրական դաշտի ազդեցության ուսումնասիրմանը:

**§5.1**-ում ուսումնասիրվել է ճնշման և էլեկտրական դաշտի ազդեցությունը  $\text{FeO}$ -ի խառնուկային վիճակների և լուսի գծային և ոչ գծային կլանման գործակիցների վրա: Նկ.7-ում պատկերված է կլանման գործակիցների կախումը ֆոտոնի էներգիայից էլեկտրական դաշտի լարվածության և  $\text{FeO}$ -ի բարձրության տարբեր արժեքների համար:

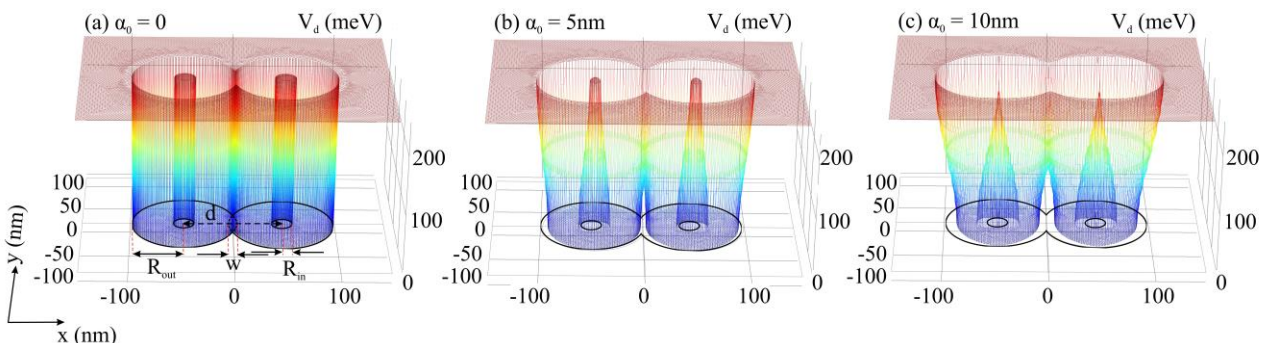
**§5.2**-ում ուսումնասիրվել է հիդրոստատիկ ճնշման, այլումինի կոնցենտրացիայի և կառուցվածքի չափերի ազդեցությունը  $\text{GaAs}/\text{Ga}_{1-x}\text{Al}_x\text{As}$  կրկնակի համակենտրոն  $\text{FeO}$ -ներում խառնուկային վիճակների և լուսի ներգոտիական կլանման վրա:

**§5.3**-ում ուսումնասիրվել է «քվանտային կետ-օղակ» կառուցվածքում (Նկ.8) լայնական էլեկտրական դաշտի, ինչպես նաև սահմանափակող պոտենցիալի պարամետրերի ազդեցությունը խառնուկային վիճակների և լուսի ներգոտիական կլանման վրա:





Նկ.10 (a). Էներգիական մակարդակների կախումներն  $\alpha_0$  պարամետրից, երբ էլեկտրական դաշտը բացակայում է (ներդիրում պատկերված են ալիքային ֆունկցիաները).  
 (b). առաջին երեք էներգիական մակարդակների հատման և հակահատման կետերը



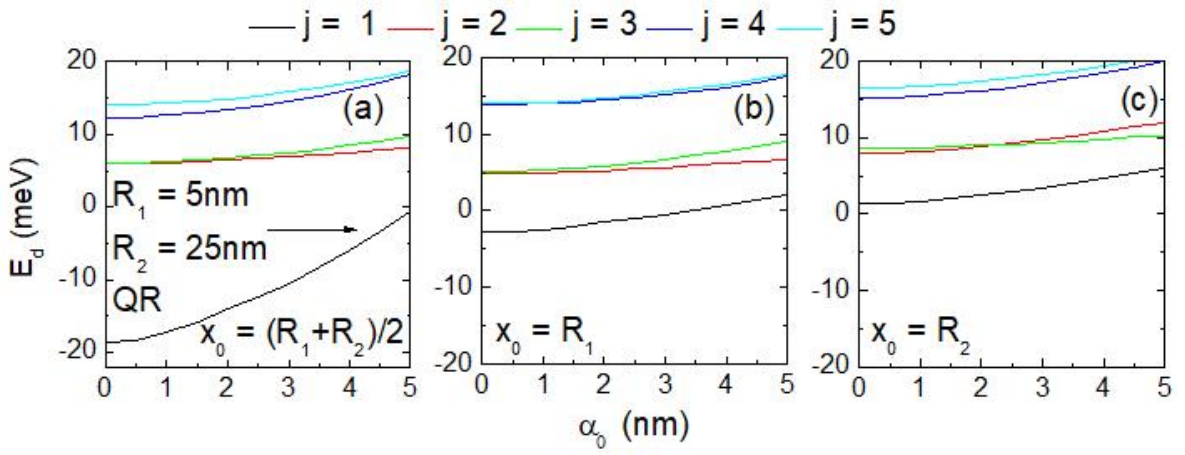
Նկ.11 «Լազերով ձևափոխված» եռաչափ սահմանափակող պոտենցիալը  $\alpha_0$  պարամետրի տարբեր արժեքների դեպքում ( $F = 0$ )

կլանման վրա: Դիտարկվել են լուսի բևեռացման երկու տարբեր ուղղություններ, ստացվել են համապատասխան ջոկման կանոններ:

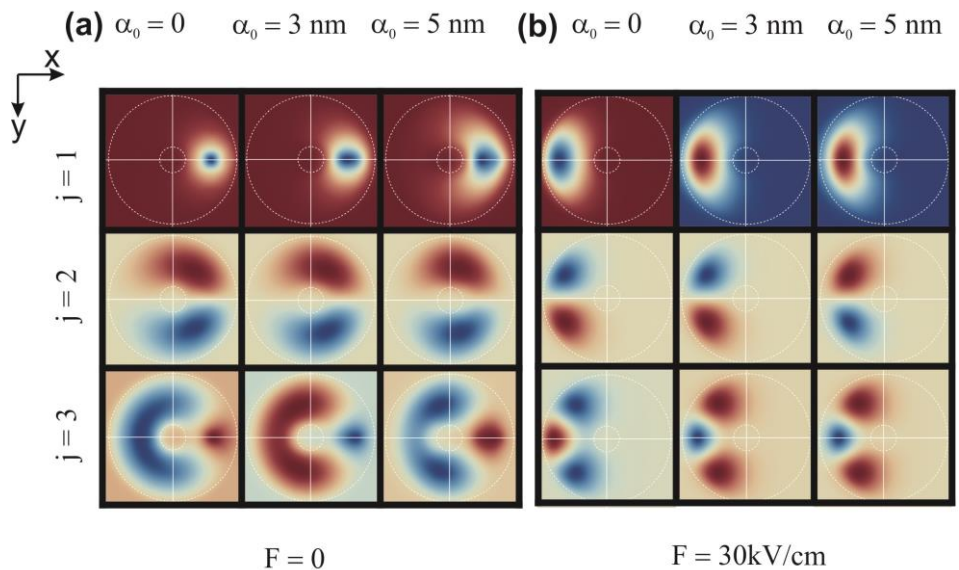
**§6.3**-ում ուսումնասիրվել է տերահերցային լազերային դաշտի և հիդրոստատիկ ճնշման ազդեցությունն էլեկտրոնային վիճակների և լուսի ներգոտիական կլանման վրա միայնակ երկարավագան քվանտային օղակում:

**§6.4**-ում ուսումնասիրվել է տերահերցային լազերային դաշտերի համատեղ ազդեցությունն էլեկտրոնային վիճակների վրա և լուսի ներգոտիական կլանման վրա GaAs/Ga<sub>1-x</sub>Al<sub>x</sub>As երկարավագան կառուցանալու մեթոդով: Էլեկտրոնի էներգիաները և ալիքային ֆունկցիաները որոշվել են վերջավոր տարրերի մեթոդով: Նկ.10-ում պատկերված են էներգիական մակարդակների կախումներն լազերային դաշտի պարամետրից, երբ էլեկտրական դաշտը բացակայում է (ներդիրներում պատկերված են ալիքային ֆունկցիաները):

**§6.5**-ում ուսումնասիրվել է տերահերցային լազերային և էլեկտրական դաշտերի համատեղ ազդեցությունն էլեկտրոնային վիճակների և ներգոտիական կլանման վրա լայնակի կապակցված կրկնակի ՔՕ-ներում: Նկ.11-ում պատկերված է էլեկտրական դաշտի բացակայության դեպքում սահմանափակող պոտենցիալը լազերային դաշտի



Նկ.12 Ք0-ում առաջին հինգ վիճակների էներգիական մակարդակների կախումները ՀԴ-ի  $\alpha_0$  պարամետրից



Նկ.13 Առաջին երեք վիճակների ալիքային ֆունկցիաների պատկերները ՀԴ  $\alpha_0$  պարամետրի և էլեկտրական դաշտի լարվածության տարբեր արժեքների դեպքում ( $R_1 = 5$  նմ,  $R_2 = 25$  նմ)

պարամետրի տարբեր արժեքների համար:

Ատենախոսության **յոթերորդ գլուխը** նվիրված է քվանտային օղակներում խառնուկային վիճակների և լուսի ներգոտիական կլանման վրա լազերային դաշտի, էլեկտրական դաշտի և հիդրոստատիկ ճնշման ազդեցության ուսումնասիրմանը:

**§7.1**-ում ուսումնասիրվել է լազերային դաշտի ազդեցությունը խառնուկային վիճակների և լուսի ներգոտիական կլանման վրա GaAs/Ga<sub>1-x</sub>Al<sub>x</sub>As երկչափ ՔԿ-ում և Ք0-ում: Հաշվարկներում հաշվի է առնվել լազերային դաշտի ազդեցությունը նաև կոլունյան պոտենցիալի վրա: Նկ.12-ում պատկերված են առաջին հինգ վիճակների էներգիական մակարդակների կախումները լազերային դաշտի պարամետրից:

**§7.2**-ում ուսումնասիրվել է լազերային և էլեկտրական դաշտերի ազդեցությունը Ք0-ում խառնուկային վիճակների և լուսի ներգոտիական կլանման վրա: Նկ.13-ում պատկերված են առաջին երեք վիճակների ալիքային ֆունկցիաները: Դիտարկվել են

լազերային դաշտի պարամետրի և էլեկտրական դաշտի լարվածության տարբեր արժեքներ:

§7.3-ում ուսումնասիրվել է հիդրոստատիկ ճնշման և լազերային դաշտի ազդեցությունը քվանտային օղակում խառնուկային վիճակների և լուսի ներգոտիական կլանման վրա:

## ԵԶՐԱԿԱՑՈՒԹՅՈՒՆ

1. Ուսումնասիրվել է հիդրոստատիկ ճնշման, ջերմաստիճանի և համասեռ էլեկտրական դաշտի ազդեցությունն էլեկտրոնի հիմնական վիճակի էներգիայի և ալիքային ֆունկցիայի վրա  $\text{Պյոշլ-Մելերի}$  սահմանափակող պոտենցիալով քվանտային փոսում: Ցույց է տրվել, որ էլեկտրական դաշտի լարվածության մեծացումը հանգեցնում է հիմնական վիճակի էներգիայի աճի: Էլեկտրոնի հիմնական վիճակի էներգիան ճնշումից կախված նվազում է, ջերմաստիճանից կախված՝ աճում:
2. Ուսումնասիրվել է հիդրոստատիկ ճնշման, ջերմաստիճանի և էլեկտրական դաշտի ազդեցությունը  $\text{Պյոշլ-Մելերի}$  սահմանափակող պոտենցիալով քվանտային փոսում դոնորային խառնուկի հիմնական վիճակի կապի էներգիայի վրա: Ցույց է տրվել, որ կապի էներգիան պարամետրերի բոլոր արժեքների դեպքում հիդրոստատիկ ճնշումից կախված մոնուտոն աճում է, իսկ ջերմաստիճանից կախված՝ նվազում: Կախված սահմանափակող պոտենցիալի  $\lambda$  և  $\chi$  պարամետրերի արժեքներից՝ էլեկտրական դաշտն ուժեղացնելիս կապի էներգիան կարող է ինչպես աճել, այնպես էլ նվազել, ընդ որում, դաշտի ազդեցությունն ավելի ուժեղ է քվանտային փոսի լայնության մեծ արժեքների դեպքում: Ցույց է տրվել նաև, որ  $\lambda = 1,5$ ,  $\chi = 3,5$  և  $F = 150 \text{կՎ/սմ}$  արժեքների դեպքում  $\text{Պյոշլ-Մելերի}$  սահմանափակող պոտենցիալը դառնում է համաչափ:
3. Լուսի բևեռացման վեկտորի երկու տարբեր ուղղությունների դեպքում ուսումնասիրվել է  $\text{Պյոշլ-Մելերի}$  սահմանափակող պոտենցիալով քվանտային փոսում դոնորային խառնուկի ֆոտոիոնացման կտրվածքը: Երկրքեռային մատրիցական տարրի համար ստացված ջոկման կանոնների համաձայն՝ թույլատրելի են խառնուկային հիմնական վիճակից քվանտային փոսի հիմնական վիճակ անցումները:  $x$ -քեռացման դեպքում խառնուկի և ջրածնի ատոմի ֆոտոիոնացման կտրվածքները համընկնում են, եթե վերջնական վիճակի ալիքային ֆունկցիան հարթ ալիք է, իսկ  $z$ -քեռացման դեպքում համընկնում տեղի ունի, եթե վերջնական վիճակի ալիքային ֆունկցիան պատկանում է կոլոնյան խնդրի անընդհատ տիրույթին: Ձերմաստիճանի բարձրացումը հանգեցնում է ֆոտոիոնացման կտրվածքի շեմային էներգիայի նվազման, իսկ հիդրոստատիկ ճնշման մեծացումը՝ շեմային էներգիայի աճի, որի հետևանքով ֆոտոիոնացման կտրվածքի սպեկտրում դիտվում է կապուտ շեղում: Ցույց է տրվել նաև, որ  $\text{Պյոշլ-Մելերի}$  համաչափ պոտենցիալի դեպքում էլեկտրական դաշտի ուժեղացման հետևանքով ֆոտոիոնացման սպեկտրում դիտվում է կարմիր շեղում:
4. Դոնորային խառնուկի առկայությամբ ուսումնասիրվել է էլեկտրոնի շարժումը վերջավոր խորությամբ սահմանափակող պոտենցիալով գլանային քվանտային լարում, լարի առանցքով ուղղված մագնիսական դաշտում: Եթե խառնուկը տեղադրված է լարի առանցքի վրա,  $\ell$  ուղեծրային քվանտային թվի բոլոր արժեքների համար





հետևում են ջոկման կանոններ.  $1 \rightarrow 2$  անցումներն իրականանում են լուսի  $y$ -բևեռացման, իսկ  $1 \rightarrow 3$  անցումները՝  $x$ -բևեռացման դեպքում: Էլեկտրական դաշտն ուժեղացնելիս կլանման սպեկտրում դիտվում է կապույտ շեղում: Սահմանափակող պոտենցիալի բնութագրական էներգիայի մեծացումը հանգեցնում է կլանման սպեկտրում կապույտ շեղման, բացի  $F = 0,5 \text{ кП/սմ}$  և  $F = 1 \text{ кП/սմ}$  արժեքներին համապատասխանող կլանման կորերից, որոնց դեպքում դիտվում է կարմիր շեղում: Սահմանափակող պոտենցիալի բնութագրական էներգիայի և էլեկտրական դաշտի լարվածության սեռված արժեքների համար կլանման կորերի համեմատությունից հետևում է, որ լուսի  $x$ -բևեռացումից  $y$ -բևեռացմանն անցնելիս, ոչ զրոյական էլեկտրական դաշտում դիտվում է կարմիր շեղում, իսկ դաշտի ուժեղացումը հանգեցնում է նաև կլանման գործակցի մաքսիմումի մեծության փոփոխության:

12. GaAs/Ga<sub>1-x</sub>Al<sub>x</sub>As կրկնակի համակենտրոն քվանտային օդակներում ներգոտիական շեմային էներգիայի՝ հիդրոստատիկ ճնշումից կախման կորը փոխում է նվազման արագությունը, ընդ որում արտաքին օդակի լայնության  $L_c = 10 \text{ նմ}$  արժեքի դեպքում այն կարող է ինչպես նվազել, այնպես էլ աճել: Շեմային էներգիայի՝ այլումինի կոնցենտրացիայից կախման կորն ունի աճի և նվազման տիրույթներ: Ներգոտիական օպտիկական անցումների համար ստացվել է  $\Delta I = \pm 1$  ջոկման կանոնը: Օդակների միջև արգելքի տիրույթի և արտաքին օդակի լայնության մեծացումը կլանման սպեկտրում հանգեցնում է կարմիր շեղման և կլանման մաքսիմումի փոքրացման, իսկ հիդրոստատիկ ճնշման և այլումինի կոնցենտրացիայի փոփոխությունը՝ կլանման սպեկտրում և՝ կարմիր, և՝ կապույտ շեղման, ինչպես նաև կլանման մաքսիմումի մեծացման: Կոնցենտրացիայի փոքը՝  $x = 0,03$  և  $x = 0,05$  արժեքների դեպքում դիտվել է ոչ գծային կլանման գործակցի արժեքի մեծացում և կլանման լրիվ գործակցի մաքսիմումի տրոհում երկու մաքսիմումի:
13. Ուսումնասիրվել է հիդրոստատիկ ճնշման և էլեկտրական դաշտի ազդեցությունը եռաչափ քվանտային օդակում խառնուկային վիճակների և լուսի գծային և երրորդ կարգի ոչ գծային կլանման գործակիցների վրա: Արտաքին շառավղի սեռված արժեքի դեպքում օդակի ներքին շառավղի մեծացումը հանգեցնում է քվանտային օդակի լայնության փոքրացման, որի հետևանքով հիմնական և առաջին գրգռված վիճակների էներգիաներն աճում են: Բացի այդ, արտաքին շառավղի մեծացումը հանգեցնում է էներգիաների փոքրացման: Հիդրոստատիկ ճնշումը և էլեկտրական դաշտի լարվածությունը մեծացնելիս հիմնական և առաջին գրգռված վիճակների էներգիաները նվազում են: Քվանտային օդակի արտաքին շառավղի մեծացումը հանգեցնում է կլանման սպեկտրում կարմիր շեղման, մինչդեռ ճնշման ուժեղացման հետևանքով կլանման սպեկտրում դիտվում է կապույտ շեղում: Էլեկտրական դաշտի ուժեղացումը, ինչպես նաև քվանտային օդակի բարձրության մեծացումը հանգեցնում են հիմնական և առաջին գրգռված վիճակների էներգիաների տարբերության նվազման և կլանման սպեկտրում կարմիր շեղման:
14. GaAs/Ga<sub>1-x</sub>Al<sub>x</sub>As կրկնակի համակենտրոն քվանտային օդակներում էլեկտրոն-խառնուկ փոխազդեցությունը խառնուկային 1s- (հիմնական) և 2s- (առաջին գրգռված) վիճակների  $E_{1s}$  և  $E_{2s}$  էներգիաների վրա առավել ուժեղ դրսևորվում է այդ վիճակների՝ արտաքին օդակի լայնությունից, ճնշումից և խառնուկի դիրքից կախումնե-

րում, և թույլ է դրսնորվում արգելքի տիրուպջի լայնությունից և այսումինի կոնցենտրացիայից կախումներում: Առաջին գրգռված վիճակի վրա նշված պարամետրերի ազդեցությունն ավելի թույլ է, քան հիմնական վիճակի կապի էներգիայի վրա: Արգելքի տիրուպջի լայնության, ճնշման և այսումինի կոնցենտրացիայի մեծացումը հանգեցնում է կլանման սպեկտրում կապույտ շեղման, իսկ արտաքին օղակի լայնության մեծացումը՝ կարմիր շեղման: Խառնուկի  $\rho$ , կոռորդինատը մեծացնելիս, կլանման սպեկտրում առկա է կարմիր շեղում, սակայն կան խառնուկի դիրքի այնպիսի տիրուպջներ, որտեղ հնարավոր է կլանման կապույտ շեղում: Խառնուկի դիրքի, արգելքի տիրուպջի լայնության և այսումինի կոնցենտրացիայի մեծացման արդյունքում կլանման գործակցի առավելագույն արժեքն ունի ոչ մոնոտոն վարք, իսկ արտաքին օղակի լայնության և ճնշման մեծացումը հանգեցնում է կլանման գործակցի առավելագույն արժեքի մոնոտոն նվազման:

15. Ուսումնասիրվել է ներգոտիական օպտիկական անցումներով պայմանավորված կլանման և կլանման վրա համակարգի կենտրոնում տեղադրված դոնորային խառնուկի, էլեկտրական դաշտի, սահմանափակող պոտենցիալի պարամետրերի ազդեցությունը GaAs «քվանտային կետ-օղակ» համակարգում: Որպես սահմանափակող պոտենցիալի մոդել դիտարկվել է կրկնակի պարաբոլական պոտենցիալը: Ցույց է տրվել, որ ընտրված սահմանափակող պոտենցիալի պարամետրերի և էլեկտրական դաշտի լարվածության փոփոխման միջոցով կարելի է արդյունավետորեն կառավարել էլեկտրոնի հիմնական վիճակի տեղայնացման տեսակը (հավանականության խտության մաքսիմումը կարելի է տեղաշարժել կետից օղակ և հակառակը): Գոյություն ունեն համակարգի պարամետրերի այնպիսի արժեքներ, որոնց դեպքում խառնուկի ազդեցությունը հավանականության խտության վրա գրեթե բացակայում է: Լուսական  $x$ - բևեռացման դեպքում թույլատրելի են  $N=1$ -ից  $N=3$  վիճակ անցումները:  $1 \rightarrow 3$  անցման դեպքում էլեկտրական դաշտի ուժեղացումը հանգեցնում է կլանման սպեկտրում միայն կարմիր շեղման, իսկ պոտենցիալի սահմանափակման էներգիաների մեծացումը՝ կարմիր շեղման (քվանտային կետի սահմանափակման էներգիան մեծացնելիս), և կապույտ շեղման (քվանտային օղակի սահմանափակման էներգիան մեծացնելիս): Կլանման սպեկտրում էլեկտրական դաշտի  $F = (0-1)$  կՎ/սմ տիրուպջում դիտվել է կարմիր, իսկ  $F = (1-3)$  կՎ/սմ տիրուպջում՝ կապույտ շեղում:
16. Ուսումնասիրվել է մագնիսական դաշտի ազդեցությունը «քվանտային կետ-օղակ» համակարգում խառնուկային վիճակների և լրացրած ներգոտիական կլանման վրա: Որպես սահմանափակող պոտենցիալի մոդել դիտարկելով կրկնակի պարաբոլական պոտենցիալը, ցույց է տրվել, որ էներգիական մակարդակների վրա մագնիսական դաշտի ազդեցությունն էապես կախված է «քվանտային կետ-օղակ» համակարգում էլեկտրոնի տեղայնացման տեսակից: Պարամետրերի դիտարկված արժեքների դեպքում հիմնական վիճակի էներգիան, մագնիսական դաշտի ինտուկցիայից կախված, գրեթե հաստատուն է: Մինչդեռ գրգռված վիճակներում ի հայտ է գալիս Ահարոնով-Բոհմի երևույթը, որը բնորոշ է օղականման համակարգերին: Սահմանափակման պոտենցիալի բնութագրական էներգիաների և արգելքի լայնության տարբեր արժեքների դեպքում կլանման գործակցի մաքսիմումն առավելագույնն է մագնիսական դաշտի բացակայությամբ: Մագնիսական դաշտում

կլանման սպեկտրի յուրաքանչյուր մաքսիմում ճեղքվում է երկու մաքսիմումների, որը պայմանավորված է  $l = \pm 1$  վիճակների ճեղքմամբ: Ցուց է տրվել նաև, որ դոնորային խառնուկի և մագնիսական դաշտի ազդեցությունը հանգեցնում է կլանման սպեկտրի էական փոփոխության:

17. Ուսումնասիրվել է լազերային և էլեկտրական դաշտերի ազդեցությունը քվանտային օդակում էլեկտրոնային վիճակների և լուսի ներգոտիական կլանման վրա: Ստացվել է «լազերով ձևափոխված» սահմանափակող պոտենցիալի վերլուծական արտահայտություն: Էլեկտրոնի էներգիաներն ու ալիքային ֆունկցիաներն որոշվել են ճշգրիտ անկյունագծացման մեթոդով: Ցուց է տրվել, որ էլեկտրական դաշտի լարվածության մեծացումը հանգեցնում է հիմնական վիճակի էներգիայի նվազման: Լազերային դաշտի պարամետրի արժեքների  $\alpha_0 = (0-5)$  նմ տիրույթում դիտվում է էներգիական մակարդակների բարձրացում, իսկ էլեկտրական դաշտի լարվածության  $F = (0-50)$  կՎ/սմ տիրույթում՝ էներգիական մակարդակների իջեցում: Լազերային դաշտի ազդեցությունը հիմնական վիճակի էներգիայի վրա ավելի ուժեղ է էլեկտրական դաշտի լարվածության մեծ արժեքների դեպքում, ընդ որում լազերային և էլեկտրական դաշտերի համատեղ ազդեցության արդյունքում և՝  $x$ -, և՝  $y$ - բևեռացումների դեպքում էլեկտրական դաշտն ուժեղացնելիս կլանման սպեկտրում դիտվում է կապույտ շեղում:  $x$ -բևեռացման դեպքում կլանման մաքսիմումը նվազում է, իսկ  $y$ -բևեռացման դեպքում՝ աճում: Էլեկտրական դաշտի բացակայությամբ լազերային դաշտի պարամետրը մեծացնելիս  $x$ -բևեռացման դեպքում կլանման սպեկտրում դիտվում է կապույտ շեղում, իսկ  $y$ -բևեռացման դեպքում՝ կարմիր շեղում:
18. Ուսումնասիրվել է հիդրոստատիկ ճնշման և լազերային դաշտի համատեղ ազդեցությունը  $GaAs/Ga_{1-x}Al_xAs$  երկչափ քվանտային օդակում էլեկտրոնային վիճակների և լուսի ներգոտիական կլանման վրա: Որպես սահմանափակող պոտենցիալի մոդել դիտարկելով վերջավոր խորությամբ երկչափ ուղղանկյուն փոսը, էլեկտրոնի էներգիաները և ալիքային ֆունկցիաները որոշվել են ճշգրիտ անկյունագծացման մեթոդով: Ցուց է տրվել, որ լազերային դաշտի պարամետրի կամայական արժեքի դեպքում էլեկտրոնի էներգիան հիդրոստատիկ ճնշումից կախված նվազում է: Շեմային էներգիաները հիդրոստատիկ ճնշման աճին զուգընթաց նույնաեն նվազում են, բացի լազերային դաշտի պարամետրի  $\alpha_0 = 5$  նմ արժեքի և  $1 \rightarrow 2$  անցման դեպքի, երբ շեմային էներգիաները ճնշումից կախված ունեն և՝ նվազման և՝ աճի տիրույթներ: Հիդրոստատիկ ճնշման մեծացումը հանգեցնում է կլանման սպեկտրում կարմիր շեղման, իսկ լազերային դաշտի պարամետրի մեծացման հետևանքով կլանման սպեկտրում դիտվում է կապույտ շեղում:
19. Ուսումնասիրվել է լազերային և էլեկտրական դաշտերի համատեղ ազդեցությունը  $GaAs/Ga_{1-x}Al_xAs$  երկչափ կրկնակի համակենտրոն քվանտային օդակներում էլեկտրոնային վիճակների և լուսի ներգոտիական կլանման վրա: Որպես սահմանափակող պոտենցիալի մոդել դիտարկելով վերջավոր պատերով երկչափ ուղղանկյուն կրկնակի փոսը, «լազերով ձևափոխված» սահմանափակող պոտենցիալի համար ստացվել է վերլուծական արտահայտություն: Էլեկտրոնի էներգիաները և ալիքային ֆունկցիաները որոշվել են վերջավոր տարրերի մեթոդով: Ցուց է տրվել, որ լազերային դաշտի ազդեցությամբ դիտարկող բոլոր էներգիական մակարդակներն

բարձրանում են և վերադասավորվում: Լազերային դաշտի բացակայությամբ գլանային համաչափության հետևանքով էներգիական մակարդակներն այլասերված են: Լազերային դաշտի պարամետրը մեծացնելիս էներգիական սպեկտրում առաջանում են այլասերված մակարդակների նոր զույգեր: Էլեկտրական դաշտի առկայությամբ «լազերով ծևափոխված» պոտենցիալը, հետևաբար՝ նաև էլեկտրոնի ալիքային ֆունկցիաները, կարող են լինել համաչափ  $x$  և  $y$  առանցքների նկատմամբ, որի հետևանքով էներգիական սպեկտրում դիտվում է էներգիական մակարդակների հատում կամ հակահատում: Ցույց է տրվել, որ թույլատրելի անցումները պայմանավորված են հիմնական և գրգռված վիճակների ալիքային ֆունկցիաների համաչափությամբ:  $1 \rightarrow 3$  և  $1 \rightarrow 4$ ,  $1 \rightarrow 7$  և  $1 \rightarrow 8$  զույգերի շեմային էներգիաներն սկսվում են միևնույն կետից, քանի որ լազերային դաշտի բացակայությամբ նշված վիճակներն այլասերված են:

20. Ուսումնասիրվել է լազերային և էլեկտրական դաշտերի համատեղ ազդեցությունը լայնակի կապակցված կրկնակի քվանտային օղակներում էլեկտրոնային վիճակների և լուսի ներգոտիական կլանման վրա: Ցույց է տրվել, որ լազերային դաշտը հանգեցնում է էներգիական մակարդակների վերադասավորման: Էլեկտրական դաշտի կամայական արժեքների դեպքում լազերային դաշտի պարամետրի աճը հանգեցնում է էներգիական մակարդակների բարձրացման: Էլեկտրական դաշտի բացակայությամբ լազերային դաշտի պարամետրի աճը հանգեցնում է հիմնական և առաջին գրգռված վիճակների կրկնակի այլասերման, որոնք կարող են համարվել, համապատասխանաբար, կապված (bonding) և հակակապված (antibonding): Էլեկտրական դաշտում լազերային դաշտով պայմանավորված այլասերումը լազերային դաշտի պարամետրի  $\alpha_0 = (0-5)$  նմ տիրույթում վերանում է: Շրջանային բնեռացված լուսի դեպքում թույլատրելի են միայն հիմնական վիճակից 2-րդ, 4-րդ, 6-րդ, 8-րդ և 10-րդ վիճակներ անցումները, որոնց ալիքային ֆունկցիաները չունեն նույն զույգությունը: Կլանման սպեկտրում դիտվում են կարմիր և կապույտ շեղումներ միայն  $1 \rightarrow 6$  անցումների դեպքում, մնացած դեպքերում դիտվում է կարմիր շեղում:  $1 \rightarrow 10$  անցման դեպքում կլանում գրեթե չի դիտվում: Էլեկտրական դաշտի առկայությամբ վերանում է համաչափությունը, որի հետևանքով բոլոր անցումները դառնում են թույլատրելի:  $1 \rightarrow 2$ ,  $1 \rightarrow 3$  և  $1 \rightarrow 4$  անցումների դեպքում սպեկտրում դիտվում են կարմիր, իսկ  $1 \rightarrow 5$ ,  $1 \rightarrow 9$  և  $1 \rightarrow 10$  անցումների դեպքում՝ կապույտ շեղումներ:  $1 \rightarrow 6$ ,  $1 \rightarrow 7$  և  $1 \rightarrow 8$  անցումներին համամապատասխանում են կլանման փոքր ուժգնություններ:
21. Ուսումնասիրվել է լազերային դաշտի ազդեցությունը  $GaAs/Ga_{1-x}Al_xAs$  երկչափ քվանտային օղակում խառնուկային վիճակների և լուսի ներգոտիական կլանման վրա: Որպես սահմանափակող պոտենցիալի մոդել դիտարկելով վերջավոր պատերով երկչափ ուղղանկյուն փոսը, ջրածնանման դոնորային խառնուկի «լազերով ծևափոխված» պոտենցիալը որոշվել է Էլոցկու մոտավորությամբ: Էլեկտրոնի ալիքային ֆունկցիաները և էներգիաները որոշվել են ճշգրիտ անկյունագծացման մեթոդով: Այն դեպքում, եթե խառնուկը տեղադրված է քվանտային օղակի կենտրոնում՝  $x_0 = (R_1 + R_2)/2$  ( $R_1$ -ը և  $R_2$ -ը քվանտային օղակի ներքին և արտաքին շառավիղներն են), հիմնական վիճակի էներգիան փոքր էներգիաների տիրույթում է և լազերային դաշտի պարամետրի մեծացմանը զուգընթաց բավական արագ աճում է՝  $-18 \text{ m}\cdot\text{V}^{-1}$

ից ( $\alpha_0 = 0$ ) մինչև  $-1$ մէվ ( $\alpha_0 = 5$ նմ), իսկ գրգռված վիճակների էներգիաներն աճում են շուրջ 5մէվ-ով: Ցույց է տրվել, որ լուսի ներգոտիական կլանման սպեկտրում լուսի թևեռացման տարբեր ուղղությունների և խառնուկի դիրքի տարբեր արժեքների դեպքում լազերային դաշտի պարամետրի արժեքի մեծացմանը զուգընթաց սպեկտրում դիտվում է միայն կարմիր շեղում ( $\alpha_0$  պարամետրի արժեքները փոխվում են 1նմ քայլով  $0\text{-ից}$  (ներքեւից) մինչև 5նմ (վերև)):

22. Ուսումնասիրվել է լազերային և էլեկտրական դաշտերի համատեղ ազդեցությունը  $\text{GaAs}/\text{Ga}_{1-x}\text{Al}_x\text{As}$  երկչափի քվանտային օղակում խառնուկային վիճակների և լուսի ներգոտիական կլանման վրա: Էլեկտրոնի էներգիաներն ու ալիքային ֆունկցիաները որոշվել են ճշգրիտ անկյունագծացման մեթոդով: Ցույց է տրվել, որ էլեկտրական դաշտի դիտարկված արժեքների դեպքում լազերային դաշտի պարամետրի աճը հանգեցնում է էներգիական մակարդակների տեղաշարժման դեպի մեծ էներգիաների տիրույթ: Երբ խառնուկը տեղադրված է օղակի կենտրոնում, էլեկտրական դաշտի լարվածության մեծ արժեքների դեպքում հիմնական վիճակի էներգիայի վրա լազերային դաշտի ազդեցությունը համեմատաբար թույլ է: Դոնորային խառնուկի առկայությամբ լուսի  $y$ -քսեռացման դեպքում թույլատրելի են  $1 \rightarrow 2$  անցումները, իսկ  $x$ -քսեռացման դեպքում՝  $1 \rightarrow 3$  անցումները: Խառնուկի և դաշտերի առկայության պայմաններում դիտվում են ինչպես կարմիր, այնպես էլ կապույտ շեղումներ: Հարկ է նշել  $F = 15$ կՎ/սմ դեպքը, երբ փոփոխելով լուսի թևեռացման վեկտորի ուղղությունը՝  $\alpha_0$ -ի փոփոխման միևնույն տիրույթում կլանման սպեկտրում  $y$ -քսեռացման դեպքում դիտվում է միայն կարմիր շեղում, իսկ  $x$ -քսեռացման դեպքում՝ և՛ կարմիր, և՛ կապույտ շեղումներ:
23. Ուսումնասիրվել է հիդրոստատիկ ճնշման և լազերային դաշտի ազդեցությունը  $\text{GaAs}/\text{Ga}_{1-x}\text{Al}_x\text{As}$  երկչափի քվանտային օղակում խառնուկային վիճակների և լուսի ներգոտիական կլանման վրա: Ցույց է տրվել, որ էներգիական մակարդակները ճնշումից կախված նվազող ֆունկցիաներ են, ընդ որում  $x = 0,3$  դեպքում ճնշման  $8,37 - 25$ կբար տիրույթում նվազման արագությունն ավելի մեծ է: Էներգիական մակարդակների նվազման արագությունն ավելի մեծ է լազերային դաշտի պարամետրի մեծ արժեքների դեպքում: Ցույց է տրվել նաև, որ ճնշման, լազերային դաշտի պարամետրի և խառնուկի դիրքի բոլոր արժեքների դեպքում հիմնական և առաջին գրգռված վիճակների էներգիական մակարդակների միջև հեռավորությունը ճնշումից կախված աճում է, որի հետևանքով կլանման սպեկտրում դիտվում է միայն կապույտ շեղում:

## ՀՂՎԱԾ ԳՐԱԿԱՆՈՒԹՅՈՒՆ

1. Pradeep T., Nano: The Essentials: Understanding Nanoscience and Nanotechnology: (McGraw-Hill, 2008).
2. Kelkar A., Herr D., Ryan J., Nanoscience and Nanoengineering: Advances and Applications (CRC Press, 2014).
3. Wilcoxon J.P., Abrams B.L., Chem. Soc. Rev., **35**, 1162–1194 (2006).
4. Marcaccio M., Paolucci F., Making and Exploiting Fullerenes, Graphene, and Carbon Nanotubes (Springer Berlin Heidelberg, Berlin, Heidelberg, 2014).

5. Castro Neto A.H., Guinea F., Peres N.M.R., Novoselov K. S., Geim A. K., *Rev. Mod. Phys.* **81**, 109 (2009).
6. Aoki H., Dresselhaus M.S., *Physics of Graphene* (Springer, New York 2014).
7. Wallace P.R., *Phys. Rev.* **71**, 622 (1947).
8. Zhou W., Wang Z.L., *Scanning Microscopy for Nanotechnology* (Springer: Verlag, 2006).
9. Alves A.K., Bergmann C.P., Berutti F.A. *Novel Synthesis and Characterization of Nanostructured Materials* (Springer, 2013).
10. Ղազարյան Է.Մ., Պետրոսյան Ս.Գ., Կիսահաղորդչային նանոէլեկտրոնիկայի ֆիզիկական հիմունքները (ՈՀՀ Հրատարակչություն, Երևան 2005):
11. Klitzing K.V., Dorda G., Pepper M., *Phys. Rev. Lett.* **45**, 494 (1980).
12. Tsui D.C., Strörmer H.L., Gossard A.C., *Phys. Rev. Lett.* **48**, 1559 (1982).
13. Անդո Տ., Փայլը Ա., Ստերն Փ., Էլեկտրոնные свойства двумерных систем. М.: Мир (1985).
14. Dingle R., Strörmer H.L., Gossard A.C., Wiegmann W., *Appl. Phys. Lett.* **33**, 665 (1978).
15. Yuh P.-F., Wang K.L., *Appl. Phys. Lett.* **51**, 1404 (1987).
16. Chemla D.S., Miller D.A.B., *J. Opt. Soc. Am. B* **2**, 1155 (1985).
17. Ruzin I.M., Chandrasekhar V., Levin E.I., Glazman L.I., *Phys. Rev. B* **45**, 13469 (1992).
18. Piprek J., *Semiconductor Optoelectronic Devices: Introduction to Physics and Simulation* (Academic Press, San Diego, 2003).
19. Steiner T., (Ed., *Semiconductor Nanostructures for Optoelectronic Applications*. U.K., London: Artech House, 2004).
20. Petroff P.M., Gossard A.C., Logan R.A., Wiegmann W., *J. Appl. Phys. Lett.* **41**, 635 (1982).
21. Լեծենցով Հ.Հ., Ստինով Վ.Մ., Շուկին Վ.Ա., Կոլյով Պ.Ս., Ալֆերօվ Ջ.Ի., Բիմբերգ Դ., *ՖՏՊ*, **32**, 385 (1998).
22. Asryan L.V., Suris R.A., *Semicond. Sci. Technol.* **11**, 554 (1996).
23. Joyce P.B., Krzyzewski T.J., Bell G.R., Joyce B.A., Jones T.S., *Phys. Rev. B* **58**, R15981 (1998).
24. Lipinski M.O., Schuler H., Schmidt O.G., Eberl K., Jin-Phillipp N.Y., *Appl. Phys. Lett.* **77**, 1789 (2000).
25. Chu L., Arzberger M., Böhm G., Abstreiter G., *J. Appl. Phys.* **85**, 2355–2362 (1999).
26. Wasilewski Z.R., Fafard S., McCaffrey J.P., *J. Crystal Growth* **201/202**, 1131 (1999).
27. Fafard S., Wasilewski Z.R., C.N. Allen, K. Hinzer, McCaffrey J.P., Feng Y., *Appl. Phys. Lett.* **75**, 986 (1999).
28. McCaffrey J.P., Robertson M.D., Fafard S., Wasilewski Z.R., Griswold E.M., Madsen L.D., *J. Appl. Phys.* **88**, 2272 (2000).
29. Lorke A., Luyken R.J., Govorov A.O., Kotthaus J.P., Garcia J.M., Petroff P.M., *Phys. Rev. Lett.* **84**, 2223 (2000).
30. Mano T., Kuroda T., Sanguinetti S., Ochiai T., Tateno T., Kim J., Noda T., Kawabe M., Sakoda K., Kido G., Koguchi N., *Nano Lett.* **5**, 425 (2005).

31. Kuroda T., Mano T., Ochiai T., Sanguinetti S., Sakoda K., Kido G., Koguchi N., Phys. Rev. B **72**, 205301 (2005).
32. Somaschini C., Bietti S., Sanguinetti S., Koguchi N., Fedorov A., Nanotechnology **21**, 125601, (2010).
33. Aharonov Y., Bohm D., Phys. Rev. **115**, 485 (1951).
34. Fuhrer A., Lüscher S., Ihn T., Heinzel T., Ensslin K., Wegscheider W., Bichler M., Nature **413**, 822 (2001).
35. Climente J.I., Planelles J., Jaskólski W., Phys. Rev. B **68**, 075307 (2003).
36. Petterson H., Warburton R. J., Lorke A., Karrai K., Kotthaus J. P., Garcia J. M., Petroff P. M., Physica E **6**, 510 (2000).
37. Haft D., Schulhauser C., Govorov A.O., Warburton R.J., Karrai K., Garcia J.M., Schoenfeld W., Petroff P. M., Physica E **13**, 165 (2002).
38. Hu H., Zhu J. -L., Li D. -J., Xiong J. -J., Phys. Rev. B **63**, 195307 (2001).
39. Grochol M., Grosse F., Zimmermann R., Phys. Rev. B **74**, 115416 (2006).
40. Ghazaryan A.V., Djotyan A.P., Moulopoulos K., Kirakosyan A.A., Physica Scripta **83**, 035703 (2011).
41. Suárez F., Granados D., Luisa Dotor M., Garcia J.M., Nanotechnology **15**, S126 (2004).
42. Alén B., Martínez-Pastor J., Granados D., García J.M., Phys. Rev. B **72**, 155331 (2005).
43. Huang G., Guo W., Bhattacharya P., Ariyawansa G., Perera A.G.U., Appl. Phys. Lett. **94**, 101115 (2009).
44. Bhowmick S., Huang G., Guo W., Lee C.S., Bhattacharya P., Ariyawansa G., Perera A.G.U., Appl. Phys. Lett. **96**, 231103 (2010).
45. Vurgaftman I., Meyer J.R., J. Appl. Phys., **89**, 5815 (2001).

### ՀՐԱՏԱՐՎԿԱԾ ԱՇԽԱՏԱՆՔՆԵՐԻ ՑՈՒՑԱԿ

1. Мугнечян В.Н., Барсегян М.Г., Киракосян А.А., Энергия связи водородоподобной донорной примеси в квантовой проволоке в магнитном и электрическом полях. **Известия НАН Армении, Физика**, 42, 435-441 (2007).
2. Mughnetsyan V.N., Barseghyan M.G., Kirakosyan A.A., Magnetic field effect on photoionization cross-section of hydrogen-like impurity in cylindrical quantum wire. **Physica E** **40**, 654-659 (2008).
3. Mughnetsyan V.N., Barseghyan M.G., Kirakosyan A.A., Binding energy and photoionization cross section of hydrogen-like donor impurity in quantum well wire in electric and magnetic fields. **Superlattice and Microstructures** **44**, 86-95 (2008).
4. Hakimyfard Alireza, Barseghyan M.G., Duque C.A., Kirakosyan A.A., Simultaneous effects of pressure and temperature on donor binding energy in Pöschl-Teller quantum well. **Physica B** **404**, 5159-5162 (2009).
5. Barseghyan M.G., Kirakosyan A.A., Duque C.A., Hydrostatic pressure, electric and magnetic field effects on shallow donor impurity states and photoionization cross section in cylindrical GaAs-Ga<sub>1-x</sub>Al<sub>x</sub>As quantum dots. **Physica Status Solidi B** **246**, 626-629 (2009).

6. Barseghyan M.G., Kirakosyan A.A., Duque C.A., Donor-impurity related binding energy and photoionization cross-section in quantum dots: electric and magnetic fields and hydrostatic pressure effects. **European Physical Journal B** **72**, 521-529 (2009).
7. Хакимифард А., Барсегян М.Г., Дюке К.А., Киракосян А.А., Влияние электрического поля, гидростатического давления и температуры на электронные состояния в квантовой яме Пешля-Теллера. **Известия НАН Армении, Физика** **45**, 401-406 (2010).
8. Barseghyan M.G., Hakimyfard Alireza, López S.Y., Duque C.A., Kirakosyan A.A., Simultaneous effects of hydrostatic pressure and temperature on donor binding energy and photoionization cross section in Pöschl-Teller quantum well. **Physica E** **42**, 1618-1622 (2010).
9. Barseghyan M.G., Hakimyfard Alireza, López S.Y., Duque C.A., Kirakosyan A.A., Hydrostatic pressure, temperature and electric field effects on donor binding energy in Pöschl-Teller quantum well. **Physica E** **43**, 529-533 (2010).
10. Duque C.A., Mora-Ramos M. E., Barseghyan M.G., Electronic states in a Pöschl-Teller-like quantum well: Combined effects of electric field, hydrostatic pressure, and temperature. **Superlattices and Microstructures** **50**, 480-490 (2011).
11. Barseghyan M.G., Hakimyfard Alireza, Zuhair Marwan, Duque C.A., Kirakosyan A.A., Binding energy of hydrogen-like donor impurity and photoionization cross-section in InAs Pöschl-Teller quantum ring under applied magnetic field. **Physica E** **44**, 419-424 (2011).
12. Barseghyan M.G., Mora-Ramos M.E., Duque C.A., Hydrostatic pressure, impurity position and electric and magnetic field effects on the binding energy and photoionization cross section of a hydrogenic donor impurity in an InAs Pöschl-Teller quantum ring. **European Physical Journal B** **84**, 265-271 (2011).
13. Barseghyan M.G., Hakimyfard Alireza, Zuhair Marwan, Duque C.A., Kirakosyan A.A., Binding energy and photoionization cross section of hydrogen-like donor impurity in cylindrical InAs Pöschl-Teller quantum layer in magnetic field. **Proc. of SPIE** **7998** 79981G (7 pages) (2011).
14. Barseghyan M.G., Hakimyfard Alireza, Kirakosyan A.A., Mora-Ramos M.E., Duque C.A., Hydrostatic pressure and electric and magnetic field effects on the binding energy of a hydrogenic donor impurity in InAs Pöschl-Teller quantum ring. **Superlattices and Microstructures** **51**, 119-127 (2012).
15. Barseghyan M.G., Restrepo R.L., Mora-Ramos M.E., Kirakosyan A.A., Duque C.A., Donor impurity-related linear and nonlinear intraband optical absorption coefficients in quantum ring: effects of applied electric field and hydrostatic pressure. **Nanoscale Research Letters** **7**, 538 (8 pages) (2012).
16. Baghramyan H.M., Barseghyan M.G., Duque C.A., Kirakosyan A.A., Binding energy of hydrogenic donor impurity in GaAs/Ga<sub>1-x</sub>Al<sub>x</sub>As concentric double quantum rings: Effects of geometry, hydrostatic pressure, temperature, and aluminum concentration. **Physica E** **48**, 164-170 (2013).
17. Baghramyan H.M., Barseghyan M.G., Kirakosyan A.A., Restrepo R.L., Duque C.A., Linear and nonlinear optical absorption coefficients in GaAs/Ga<sub>1-x</sub>Al<sub>x</sub>As concentric double

- quantum rings: Effects of hydrostatic pressure and aluminum concentration. **Journal of Luminescence** **134**, 594-599 (2013).
18. Mughnetsyan V.N., Manaselyan A.Kh., Barseghyan M.G., Kirakosyan A.A., Simultaneous effects of hydrostatic pressure and spin-orbit coupling on linear and nonlinear intraband optical absorption coefficients in a GaAs quantum ring. **Journal of Luminescence** **134**, 24-27 (2013).
  19. Restrepo R.L., Barseghyan M.G., Mora-Ramos M.E., Duque C.A., Effects of hydrostatic pressure on the nonlinear optical properties of a donor impurity in a GaAs quantum ring. **Physica E** **51**, 48-54 (2013).
  20. Baghramyan H.M., Barseghyan M.G., Kirakosyan A.A., Restrepo R.L., Mora-Ramos M.E., Duque C.A., Donor impurity-related linear and nonlinear intraband optical absorption coefficients in GaAs/Ga<sub>1-x</sub>Al<sub>x</sub>As concentric double quantum rings: Effects of geometry, hydrostatic pressure, and aluminum concentration. **Journal of Luminescence** **145**, 676-683 (2014).
  21. Manaselyan A.Kh., Barseghyan M.G., Kirakosyan A.A., Laroze D., Duque C.A., Effects of applied lateral electric field and hydrostatic pressure on the intraband optical transitions in a GaAs-Ga<sub>1-x</sub>Al<sub>x</sub>As quantum ring. **Physica E** **60**, 95-99 (2014).
  22. Baghramyan H.M., Barseghyan M.G., Kirakosyan A.A., Laroze D., Duque C.A., Donor-impurity related photoionization cross section in GaAs/Ga<sub>1-x</sub>Al<sub>x</sub>As concentric double quantum rings: Effects of geometry and hydrostatic pressure. **Physica B** **449**, 193-198 (2014).
  23. Radu A., Kirakosyan A.A., Laroze D., Baghramyan H.M., Barseghyan M.G., Electronic and intraband optical properties of single quantum rings under intense laser field radiation. **Journal of Applied Physics** **116**, 093101 (6 pages) (2014).
  24. Radu A., Kirakosyan A.A., Laroze D., Barseghyan M.G., The effects of the intense laser and homogeneous electric fields on the electronic and intraband optical properties of a GaAs/Ga<sub>0.7</sub>Al<sub>0.3</sub>As quantum ring. **Semicond. Sci. Technol.** **30**, 045006 (9 pages) (2015).
  25. Barseghyan M.G., Baghramyan H.M., Laroze D., Bragard J., Kirakosyan A.A., Impurity-related intraband absorption in coupled quantum dot-ring structure under lateral electric field. **Physica E** **74**, 421-425 (2015).
  26. Barseghyan M.G., Electronic states of coupled quantum dot-ring structure under lateral electric field with and without a hydrogenic donor impurity. **Physica E** **69**, 219-223 (2015).
  27. Barseghyan M.G., Manaselyan A.Kh., Laroze D., Kirakosyan A.A., Impurity-modulated Aharonov-Bohm oscillations and intraband optical absorption in quantum dot-ring nanostructures. **Physica E** **81**, 31-36 (2016).
  28. Baghramyan H.M., Barseghyan M.G., Laroze D., Kirakosyan A.A., Influence of lateral electric field on intraband optical absorption in concentric double quantum rings. **Physica E** **77**, 81-89 (2016).
  29. Barseghyan M.G., Donor impurity-related intraband optical absorption in a single quantum ring: Hydrostatic pressure and intense laser field effects. **European Physical Journal Plus** **131**: 361 (7 pages) (2016).

30. Laroze D., Barseghyan M.G., Radu A., Kirakosyan A.A., Laser driven impurity states in two-dimensional quantum dot and quantum ring. **Physica B** **501**, 1-4 (2016).
31. Barseghyan M.G., Energy levels and far-infrared optical absorption of impurity doped semiconductor nanorings: Intense laser and electric fields effects. **Chemical Physics** **479**, 1-4 (2016).
32. Barseghyan M.G., Intraband optical absorption in a single quantum ring: Hydrostatic pressure and intense laser field effects. **Optics Communications** **379**, 41–44 (2016).
33. Barseghyan M.G., Laser driven impurity states in two dimensional concentric quantum rings. **Proceedings of the Yerevan State University**, 51(1), pp. 89-92 (2017).
34. Barseghyan M.G., Kirakosyan A.A., Laroze D., Laser driven intraband optical transitions in two-dimensional quantum dots and quantum rings. **Optics Communications** **383**, 571–576 (2017).
35. Baghramyan H.M., Barseghyan M.G., Laroze D., Molecular spectrum of laterally coupled quantum rings under intense terahertz radiation. **Scientific Reports** **7**, 10485 (10 pages) (2017).
36. Baghramyan H.M., Barseghyan M.G., Kirakosyan A.A., Ojeda J.H., Bragard J., D. Laroze, Modeling of anisotropic properties of double quantum rings by the terahertz laser field, **Scientific Reports** **8**, 6145 (10 pages) (2018).
37. Chakraborty T., Manaselyan A., Barseghyan. M., Laroze D., Controllable continuous evolution of electronic states in a single quantum ring, **Phys. Rev. B** **97**, 041304(R) (5 pages) (2018).
38. Baghramyan H.M., Barseghyan M.G., Kirakosyan A.A., Laroze D., Intense Terahertz Radiation Effect on Electronic and Intraband Optical Properties of Semiconductor Quantum Rings. In: V. Fomin (eds) Physics of Quantum Rings, NanoScience and Technology. Springer, Cham, pp. 411-445 (2018).

БАРСЕГЯН МАНУК ГЕВОРГОВИЧ

ТЕОРЕТИЧЕСКОЕ ИССЛЕДОВАНИЕ ВЛИЯНИЯ ВНЕШНИХ ФАКТОРОВ НА  
ЭЛЕКТРОННЫЕ И ОПТИЧЕСКИЕ СВОЙСТВА ПОЛУПРОВОДНИКОВЫХ  
НАНОСТРУКТУР

АННОТАЦИЯ

Диссертация посвящена теоретическому исследованию влияния внешних воздействий на электронные и примесные состояния, а также на оптические свойства полупроводниковых наноструктур.

Впервые проведено изучение влияния внешнего электрического поля, гидростатического давления и температуры на электронные состояния, энергию связи и сечение фотоионизации (СФИ) водородоподобной донорной примеси в квантовой яме с ограничивающим потенциалом Пешля-Теллера. Показано, что энергия основного состояния электрона с ростом напряженности электрического поля и температуры увеличивается, а с ростом гидростатического давления уменьшается. При этом, сильная

асимметрия ограничивающего потенциала приводит к увеличению энергии основного состояния. В зависимости от выбранных параметров квантовой ямы энергия связи основного состояния может либо увеличиваться, либо уменьшаться с увеличением напряженности электрического поля, в то время как она является возрастающей (убывающей) функцией гидростатического давления (температуры). Доказано, что можно эффективно контролировать спектром фотоионизации не только с помощью вышеупомянутых факторов, но и посредством изменения направления поляризации света.

Проведено детальное исследование энергии связи и СФИ водородоподобной донорной примеси в цилиндрической квантовой проволоке во внешнем магнитном поле. В случае параллельной относительно оси проволоки вектора поляризации света разрешены переходы из основного примесного состояния в основное состояние. В случае перпендикулярной поляризации разрешены переходы из основного примесного состояния в состояния с  $\Delta l = \pm 1$  (где  $l$  - азимутальное квантовое число). Когда система находится под воздействием взаимно поперендикулярных электрического и магнитного полей, характер зависимостей СФИ от положения примеси, напряженности электрического поля и индукции магнитного поля может существенно меняться в обоих случаях поляризации.

Впервые проведено комплексное исследование влияния геометрии, гидростатического давления, температуры и концентрации алюминия на энергию связи водородоподобной донорной примеси и СФИ в двойных концентрических квантовых кольцах (ДКК). С учетом поведения энергии связи показано, что увеличение ширины потенциального барьера между кольцами может привести как к красному, так и к голубому смещению в спектре фотоионизации. Найдено, что увеличение радиальной координаты примеси приводит к красному смещению в спектре фотоионизации, а при увеличении гидростатического давления и концентрации алюминия наблюдается голубое смещение.

Впервые исследовано совместное влияние спин-орбитального взаимодействия Рашбы и гидростатического давления на внутризонное линейное и нелинейное поглощение света в одиночном квантовом кольце (КК). Обнаружено, что оно может привести и к синему, и к красному смещению в спектре поглощения, в то время как под влиянием гидростатического давления имеет место только красное смещение.

Проведено изучение влияния поперечного электрического поля на внутризонное оптическое поглощение ДКК. Исследование совместного влияния электрического поля и изменения ограничивающего потенциала показало, что увеличение напряженности поля приводит только к голубому смещению в спектре поглощения, а усиление ограничения приводит к красному смещению. Такое поведение поглощения наблюдается также при повороте вектора поляризации от направления оси  $x$  к оси  $y$ .

Впервые исследовано влияние донорной примеси на осцилляции Ааронова-Бома энергетических уровней и внутризонное оптическое поглощение в наносистемах "квантовая точка-кольцо". Показано, что локализация электрона внутри системы полностью контролируема, кроме основного состояния, в котором электрон в основном локализован в квантовой точке, а присутствие магнитного поля приводит к расщеплению максимума кривой поглощения.

Впервые детально исследовано влияние интенсивного лазерного излучения (ИЛИ) и электрического поля на электронные состояния и внутризонное оптическое поглощение в двумерном КК. Из полученного аналитического выражения для эффективного ограничивающего потенциала при наличии внешних полей следует, что изменение поляризации, в зависимости от энергии кванта падающего света, может приводить к голубому или красному смещению в спектре внутризонного поглощения. Кроме того, установлено, что голубое и красное смещения индуцируются одновременным воздействием ИЛИ и поперечного электрического поля.

Доказано, что с помощью ИЛИ можно реализовать переход от одной формы ДККК к другой, что, в свою очередь, позволяет манипулировать электронными и оптическими свойствами образца, а путем изменения интенсивности или частоты терагерцового лазерного поля можно создавать новый набор вырожденных уровней в ДККК и контролировать распределение заряда в нем. Кроме того, показано, что в зависимости от направления дополнительного внешнего электрического поля, имеют место линейный и квадратичный эффекты Штарка.

Впервые систематично исследованы примесные состояния и внутризонное оптическое поглощение в двумерной квантовой точке и КК в поле терагерцового лазерного поля. Случайное вырождение примесных состояний наблюдается для разных положений примеси и различных значений параметра ИЛИ. Доказано, что из-за вырождения имеет место пересечение кривых зависимостей пороговых энергий и дипольных матричных элементов от параметра ИЛИ, а в спектре поглощения может наблюдаться либо синее, либо красное смещение в зависимости от положения примеси, значения параметра ИЛИ и направления поляризации света. Исследование совместного воздействия гидростатического давления и ИЛИ на энергетический спектр и внутризонное оптическое поглощение в КК показало, что поведение пороговой энергии, а также положение максимума коэффициента поглощения можно эффективно контролировать изменением гидростатического давления и параметра ИЛИ.

BARSEGHYAN MANUK GEVORG

THEORETICAL INVESTIGATION OF EXTERNAL FACTORS ON ELECTRONIC  
AND OPTICAL PROPERTIES OF SEMICONDUCTOR NANOSTRUCTURES

SUMMARY

The present dissertation is devoted to the theoretical investigation of some external influences on the electronic and impurity states, as well as the optical properties of semiconductor nanostructures.

The study of the effect of external electric field, hydrostatic pressure and temperature on the electronic states, binding energy and photoionization cross-section (PCS) of a hydrogen-like donor impurity in a quantum well with Pöschl-Teller confinement potential is performed for the first time. It is shown that the ground state energy of an electron is an increasing function of electric field strength and temperature and a decreasing function of hydrostatic pressure. On the other hand, the increased asymmetry of the potential results in the augmentation of the ground state energy. Besides that, depending on the chosen parameters of the quantum well, the binding energy of the ground state can be an increasing or decreasing function of the electric field strength, while it is an increasing (decreasing) function of the hydrostatic pressure (temperature). It is proofed that the spectrum of PCS can be effectively controlled not only by the abovementioned factors but also by the change of polarization direction of the light.

The detailed investigation of binding energy and PCS of a hydrogen-like donor impurity in the cylindrical quantum wire under the action of the magnetic field has been done. In the case of parallel polarization, the electron transitions from impurity ground state to the ground state in the quantum wire are allowed. Meanwhile, perpendicular polarization results in the allowed transitions from the impurity ground state to  $\Delta l = \pm 1$  states (where  $l$  is the azimuthal quantum number). When the system is under the action of perpendicular electric and magnetic fields the dependence of PCS on the impurity position, electric field strength and magnetic field induction can be drastically changed for both cases of the light polarization.

The effect of geometry, hydrostatic pressure, temperature, and aluminum concentration on binding energy of hydrogen-like donor impurity and PCS in concentric double quantum rings (CDQRs) has been systematically investigated for the first time. Based on the behavior of the binding energy, it has been shown that the increase of the coupling barrier width between rings results in the redshift, or blueshift in the photionization spectrum. The increase of impurity radial position makes the redshift in the photionization spectrum. Additionally, the increments of hydrostatic pressure and aluminum concentration result in a blueshift in the photionization spectrum.

The combined effect of Rashba spin-orbit interaction and hydrostatic pressure on intraband linear and nonlinear absorption in a single quantum ring (QR) has been investigated for the first time. It is found that the Rashba interaction can lead to the blue and redshift of the absorption spectrum, while only the redshift is observed with the hydrostatic pressure variation.

The influence of the lateral electric field on intraband optical absorption of CDQR has been examined. The combined influence of electric field and change of the confinement potential strength shows that while the increment of the first one leads only to a blueshift of the absorption spectrum, the augment of the second one makes a redshift. It is demonstrated, that the absorption spectrum undergoes redshift by changing the polarization of the light from  $x$ - to  $y$ -axis.

For the first time the influence of the donor impurity on Aharonov-Bohm oscillations of the electron energy spectrum and intraband optical absorption is investigated in a quantum dot-ring nanostructure. It is shown that the electron localization inside the structure is fully controllable, excepted the ground state that is mostly dot-localized. Additionally, the presence of the applied magnetic field splits the maximum of the absorption curve.

For the first time the simultaneous influences of an intense laser field (ILF) and electric field on electronic states and intraband optical absorption are investigated in a two-dimensional QR. An analytical expression of the effective confinement potential in the presence of external fields is obtained. It is shown that the change in the incident light polarization leads to blue- or redshifts in the intraband optical absorption spectrum. Moreover, it is found out that the blueshift and redshift are induced by the simultaneous influences of an ILF and lateral electric field.

The rendering of different shapes of just a single sample of a CDQRs is demonstrated realizable with a THz ILF, that in its turn, allows the manipulation of electronic and intraband optical properties of a sample. It is shown that by changing the intensity or frequency of ILF, one can come to a new set of degenerated levels in double QRs and switch the charge distribution between the rings. Also, depending on the direction of an additional electric field, the linear and quadratic quantum confined Stark effects are observed.

The hydrogen-like donor impurity states and intraband optical absorption in two-dimensional quantum dots and QRs have been systematically investigated under the action of THz ILF. The accidental degeneracy of the impurity states is observed for different positions of the impurity and various values of the ILF parameter. Due to the degeneracy, crossings of the curves of the threshold energies and the dipole matrix element dependencies on ILF parameter are observed. It is shown that the absorption spectrum can exhibit either a blue- or redshift depending on the impurity position, values of the ILF parameter and direction of the incident light polarization. The combined effect of hydrostatic pressure and ILF on the energy spectrum and intraband optical absorption in a QR is carried out. The results show that the behavior of the threshold energy and the position of the absorption maximum strongly depend on the hydrostatic pressure and ILF parameter.

